

01;03

## Критическая равновесная сфероидальная деформация капли диэлектрической жидкости в однородном электростатическом поле

© С.И. Щукин, А.И. Григорьев

Ярославский государственный университет,  
150000 Ярославль, Россия

(Поступило в Редакцию 3 марта 1998 г.)

Устойчивость диэлектрической капли, принимающей во внешнем электростатическом поле равновесную форму вытянутого сфероида, проанализирована в рамках принципа минимальности полной потенциальной энергии изолированной системы. Для широкого диапазона диэлектрических проницаемостей вещества капли определены значения параметра Тейлора и степени сфероидальной деформации капли, при которых она теряет устойчивость.

Исследование равновесных форм и устойчивости незаряженных капель в однородных внешних электростатических полях проводилось неоднократно как экспериментально, так и теоретически в связи с изучением элементарных процессов в грозных облаках, разработкой новых химических технологий и физических приборов для аналитических исследований (см., например, обзоры [1,2] и указанную там литературу). Тем не менее многие вопросы, связанные с обсуждаемой темой, остались невыясненными. Так, большая часть теоретических исследований была проведена для капли идеально проводящей жидкости, и за пределами проведенных изысканий остался вопрос о связи величины критической равновесной деформации капли диэлектрической жидкости в однородном электростатическом поле  $\mathbf{E}$  с величиной  $E$  и диэлектрической проницаемостью жидкости  $\varepsilon$ . Этот пробел и должна заполнить настоящая работа.

В нижеследующем рассмотрении в рамках сфероидального приближения для равновесной формы капли диэлектрической жидкости в поле  $\mathbf{E}$  [3] на основе принципа минимальности потенциальной энергии равновесной формы изолированной капли будут исследованы равновесные состояния и границы устойчивости в  $\mathbf{E}$  капель диэлектрической жидкости. Внешнюю среду будем считать непроводящей с диэлектрической проницаемостью, равной единице, т.е. вакуумом.

1. Потенциальная энергия изолированной капли в поле  $\mathbf{E}$  состоит из энергии сил поверхностного натяжения и электростатической энергии капли в  $\mathbf{E}$ . Энергия сил поверхностного натяжения вытянутой сфероидальной капли записывается в виде [4]

$$U_{\sigma} = 2\pi\sigma R^2 \left( k^{-2/3} + k^{4/3} \frac{\arctg(\sqrt{k^2-1})}{\sqrt{k^2-1}} \right), \quad (1)$$

$R$  — радиус сферической капли, равной по объему рассматриваемому сфероиду;  $\sigma$  — коэффициент поверхностного натяжения;  $k = a/b$ ,  $a$  и  $b$  — большая и меньшая полуоси вытянутого сфероида соответственно.

Электростатическая энергия диэлектрического сфероида, вытянутого вдоль внешнего однородного электри-

ческого поля  $\mathbf{E}$  в вакууме, определяется в системе СИ выражением [5]

$$U_e = -\frac{1}{2}EP_x = \frac{2\pi\varepsilon_0 E^2 R^3 (\varepsilon - 1)}{3[1 + (\varepsilon - 1)n_x]}, \quad (2)$$

где  $P_x$  — дипольный момент сфероида;  $\varepsilon_0$  — диэлектрическая постоянная;  $n_x$  — коэффициент деполяризации сфероида, имеющий вид [5]

$$n_x = \frac{k \ln(k + \sqrt{k^2 + 1}) - \sqrt{k^2 - 1}}{(k^2 - 1)^{3/2}}.$$

В дальнейшем при анализе устойчивости сфероидальной формы капли ее полную потенциальную энергию  $U_{\sigma} + U_e$  будем обезразмеривать, относя к потенциальной энергии равновеликой сферической капли

$$U = \frac{U_{\sigma} + U_e}{U_{\sigma s} + U_{es}}, \quad (3)$$

где

$$U_{\sigma s} = 4\pi R^2 \sigma \quad (4)$$

— энергия сил поверхностного натяжения сферической капли,

$$U_{es} = -\frac{2\pi R^3 E^2 \varepsilon_0 (\varepsilon - 1)}{4 + \varepsilon} \quad (5)$$

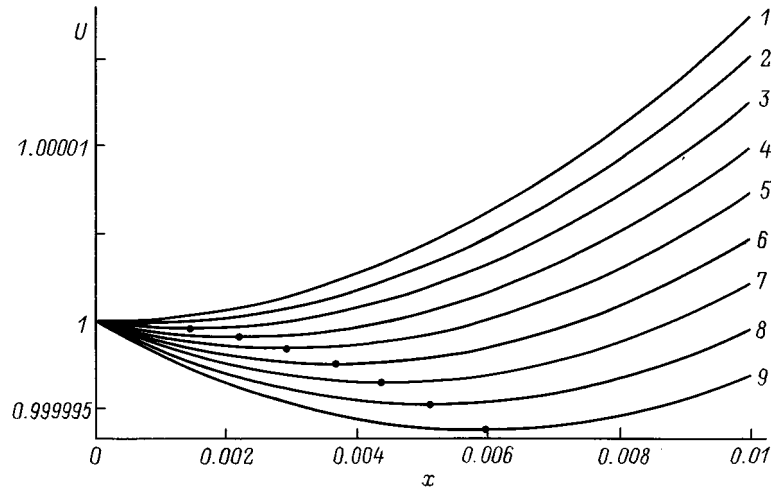
— электростатическая энергия диэлектрической сферы в поле  $\mathbf{E}$ .

Введем также безразмерный параметр  $W$  (параметр Тейлора), величина которого характеризует устойчивость капли в поле  $\mathbf{E}$  (капля электропроводной жидкости претерпевает неустойчивость при  $W = 2.59$  [6])

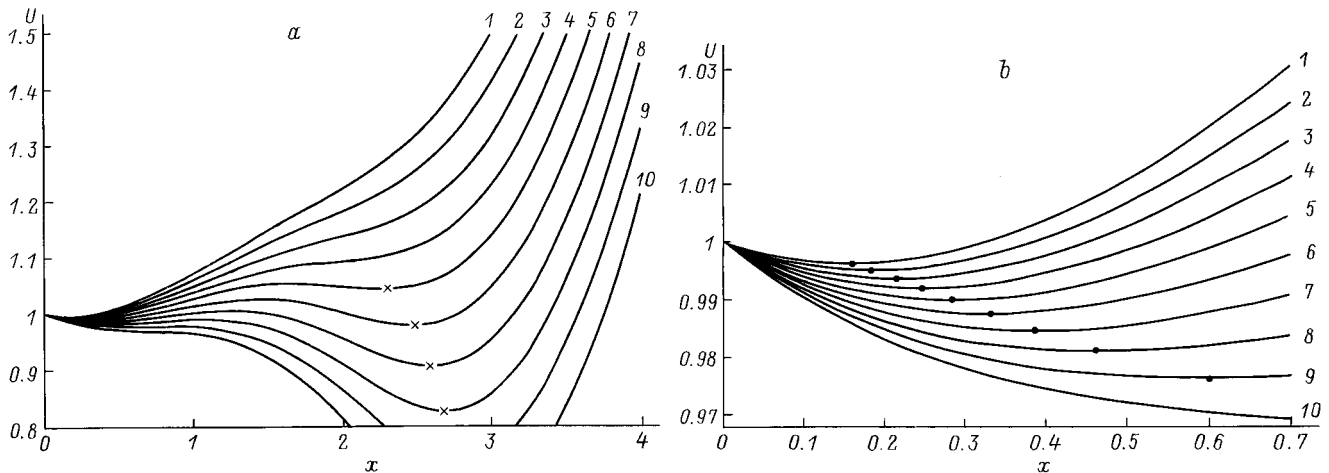
$$W = \frac{4\pi\varepsilon_0 E^2 R}{\sigma}. \quad (6)$$

Подставляя в (3) выражения (1), (2), (4), (5), перепишем (3) в безразмерном виде

$$U = \left\{ 2\pi \left[ \frac{1}{k^{2/3}} + \frac{k^{4/3} \arctg(\sqrt{k^2-1})}{\sqrt{k^2-1}} \right] - \frac{W(\varepsilon-1)}{1+(\varepsilon-1)n_x} \right\} \left[ 4\pi - \frac{W(\varepsilon-1)}{2(2+\varepsilon)} \right]^{-1}. \quad (7)$$



**Рис. 1.** Зависимость безразмерной энергии капли трансформаторного масла в электростатическом поле от  $x$ :  $W = 0.01$  (1), 0.1 (2), 0.2 (3), 0.3 (4), 0.4 (5), 0.5 (6), 0.6 (7), 0.7 (8), 0.8 (9).



**Рис. 2.** Зависимость безразмерной энергии капли этилового спирта: *a* — вид зависимости  $U = U(x)$  при больших деформациях, крестиками отмечены минимумы в области больших деформаций при  $W > 2.3$ ; *b* — ход зависимости при малых деформациях, точками отмечены минимумы в области малых деформаций;  $W = 1.6$  (1), 1.8 (2), 2.0 (3), 2.2 (4), 2.4 (5), 2.6 (6), 0.8 (7), 3.0 (8), 3.2 (9), 3.4 (10).

2. Для удобства графического представления результатов численного анализа соотношения (7) степень сфероидальной деформации капли в поле  $E$  будем характеризовать величиной  $x = \ln(a/b)$ .

На рис. 1 приведены зависимости  $U = U(x)$  для капли трансформаторного масла ( $\varepsilon = 2.2$ ), рассчитанные численно по (7) при различных значениях параметра Тейлора  $W$ . Наличие на зависимостях  $U(x)$  одного минимума (на рис. 1 положения минимумов отмечены точками) в широком ( $0 \leq W \leq 40$ ) диапазоне изменения параметра  $W$  свидетельствует о том, что при данной диэлектрической проницаемости вещества всегда существует равновесная форма капли в виде вытянутого сфероида. Сравнение положений минимума на кривых, соответствующих различным значениям  $W$  (см. также рис. 1), показывает, что эксцентриситет равновесной

сфероидальной капли монотонно растет при увеличении параметра Тейлора  $W$ .

На рис. 2, *a, b* в разных масштабах приведены зависимости  $U = U(x)$  для капли этилового спирта ( $\varepsilon = 46$ ) при различных значениях параметра Тейлора  $W$ . Как показывают расчеты и видно из рис. 2, для малых значений параметра Тейлора  $W < 2.3$  исследуемая зависимость имеет один минимум (кривые 1–4 на рис. 2, *a* и *b*), соответствующий сфероидальной капле с отношением полуосей  $k < 1.4$ . При увеличении параметра Тейлора до значений  $W \geq 2.3$  качественный ход зависимости  $U = U(x)$  изменяется: кривая  $U = U(x)$  имеет два минимума, разделенных локальным максимумом. После первого минимума, положение которого отмечено на рис. 2, *b* точками, зависимость  $U = U(x)$  проходит через локальный максимум, становится убывающей, проходит

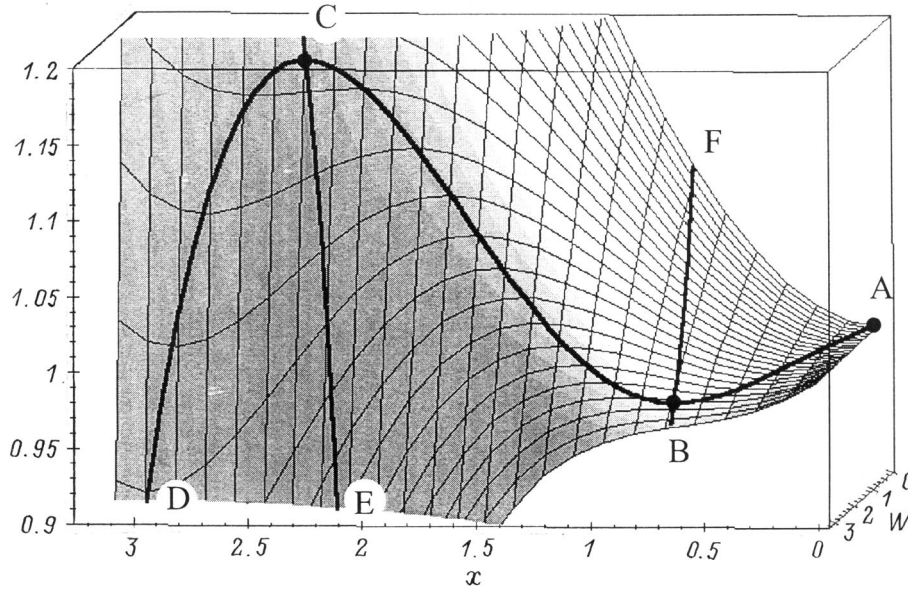


Рис. 3. Зависимость безразмерной энергии капли воды от величин  $W$  и  $x$ .

через второй минимум (положения которых при различных  $W$  отмечены на рис. 2, *a* крестиками), соответствующий равновесной сфероидальной форме с отношением полуосей  $k > 6$ . Дальнейшее увеличение степени деформации сфероида  $x$  приводит к неограниченному росту потенциальной энергии. Увеличение параметра Тейлора  $W$  вызывает смещение положений как первого, так и второго минимумов в сторону больших деформаций.

При увеличении параметра Тейлора до  $W \geq 3.24$  первый минимум (и соответственно локальный максимум) пропадает, а в области значений  $0 < k < 6$  зависимость  $U = U(x)$  становится убывающей. Поскольку существование устойчивых равновесных сфероидальных капель с отношением полуосей  $k > 6$ , т.е. с весьма большим удлинением, маловероятно по общефизическим соображениям, не учитываемым в данной модели, то значение параметра Тейлора  $W = 3.24$ , при котором исчезает первый минимум, следует считать верхней границей области значений  $W$ , в которой при  $\varepsilon = 46$  существуют устойчивые сфероидальные капли.

Зависимости  $U = U(x)$ , рассчитанные для капель воды ( $\varepsilon = 81$ ) при различных значениях параметра Тейлора (рис. 3), качественно схожи с зависимостями, приведенными на рис. 2. Количественные изменения заключаются в том, что а) появление второго минимума на зависимости  $U = U(x)$  происходит при меньших значениях параметра Тейлора ( $W > 1.43$ ), б) положение локальных максимумов зависимости  $U = U(x)$  смещается в сторону больших деформаций, в) исчезновение первого минимума и локального максимума зависимости  $U = U(x)$ , т.е. переход ее в монотонно убывающую в области деформаций ( $0 < k < 1.6$ ), наблюдается также при меньших значениях параметра Тейлора ( $W > 2.3$ ).

3. Связь равновесной сфероидальной деформации капли с величиной параметра Тейлора  $W$  может быть найдена из требования минимальности полной потенциальной энергии капли в равновесном состоянии

$$\frac{\partial}{\partial k}(U_\sigma + U_e) = 0, \quad (8)$$

приводящем к уравнению

$$2\pi \left[ -\frac{2}{3}k^{-5/3} + \frac{4}{3} \frac{k^{1/3}C}{A} + \frac{k^{1/3}}{A^2} - \frac{k^{7/3}C}{A^3} \right] + [3kA - (2k^2 + 1)B] \frac{WA}{D^2} = 0,$$

с учетом требования положительности второй производной

$$\frac{\partial^2}{\partial k^2}(U_\sigma + U_e) \geq 0, \quad (9)$$

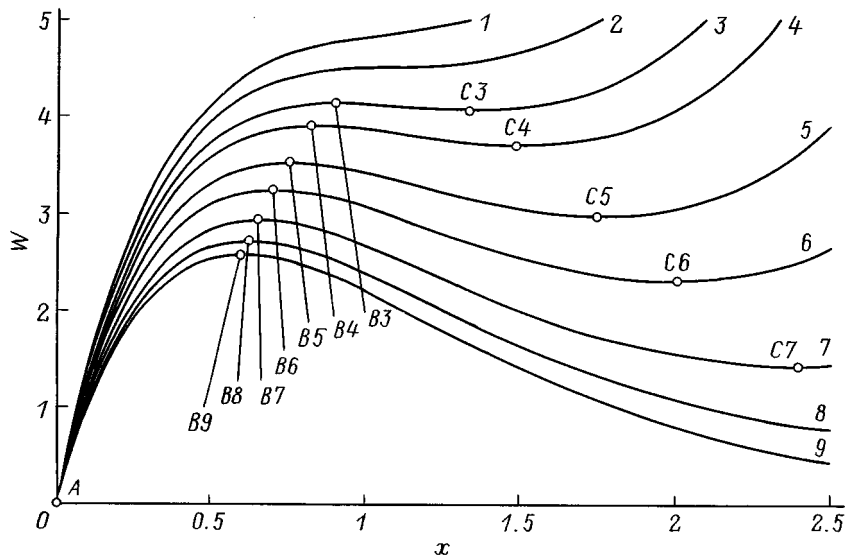
приводящего к соотношению

$$2\pi k^{1/3} \left( \frac{10}{9}k^{-3} + \frac{4}{9} \frac{C}{A}k^{-1} + \frac{5}{3} \frac{k^{-3}}{A^2} - \frac{11}{3} \frac{kC}{A^3} - 3 \frac{k}{A^4} + 3 \frac{k^3C}{A^5} \right) + \frac{W}{D^2} \left\{ -\frac{(2k^2 + 1)Bk}{A} + 3A^2 - 4kAB + 4k^2 - 1 - 2A[3kA - (2k^2 + 1)B] \left( \frac{3kA}{\varepsilon - 1} + B \right) D^{-1} \right\} \geq 0,$$

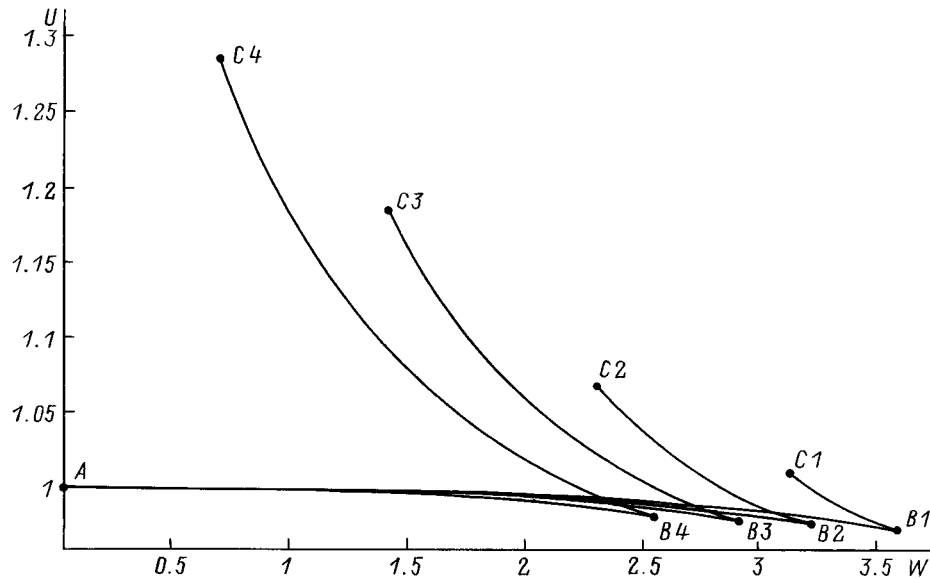
$$A = \sqrt{k^2 - 1}, \quad B = \ln(k + \sqrt{k^2 - 1}),$$

$$C = \operatorname{arctg}(\sqrt{k^2 - 1}),$$

$$D = \frac{(k^2 - \varepsilon)\sqrt{k^2 - 1}}{\varepsilon - 1} + k \ln(k + \sqrt{k^2 - 1}).$$



**Рис. 4.** Зависимости  $W(x)$ , полученные из решения уравнения (8) при  $\varepsilon = 18$  (1), 20 (2), 23 (3), 26 (4), 34 (5), 46 (6), 81 (7), 200 (8),  $\infty$  (9).



**Рис. 5.** Зависимость величины потенциального барьера от параметра Тейлора при  $\varepsilon = 32$  (1), 46 (2), 81 (3),  $\infty$  (4).

График зависимости  $U = U(W, x)$ , рассчитанный по (7) для капель воды, приведен на рис. 3. Кривая  $AD$  является проекцией решения уравнения (8) на поверхность  $U = U(W, x)$ , иными словами, кривая  $AD$  проходит через точки, в которых зависимость  $U(x)$  принимает экстремальные значения. Линии  $BF$  и  $CE$  представляют собой проекции решения уравнения (9) на поверхность  $U(W, x)$  и разделяют эту поверхность на три части: правее  $BF$  и левее  $CE$  расположено геометрическое место точек, где

$$\frac{\partial^2}{\partial k^2}(U_\sigma + U_e) > 0,$$

между  $BF$  и  $CE$  расположено геометрическое место точек, где

$$\frac{\partial^2}{\partial k^2}(U_\sigma + U_e) < 0.$$

Таким образом, участки  $AB$  и  $CD$  соответствуют минимумам, а  $BC$  — максимумам зависимости  $U = U(x)$ . Из вышесказанного ясно, что равновесным формам капли соответствует кривая  $AB$ .

На рис. 4 приведены результаты численного расчета по уравнению (8) для различных значений диэлектрической проницаемости  $\varepsilon$ . Как показывает расчет, при  $\varepsilon < 20.8$  для любого значения параметра Тейлора существует рав-

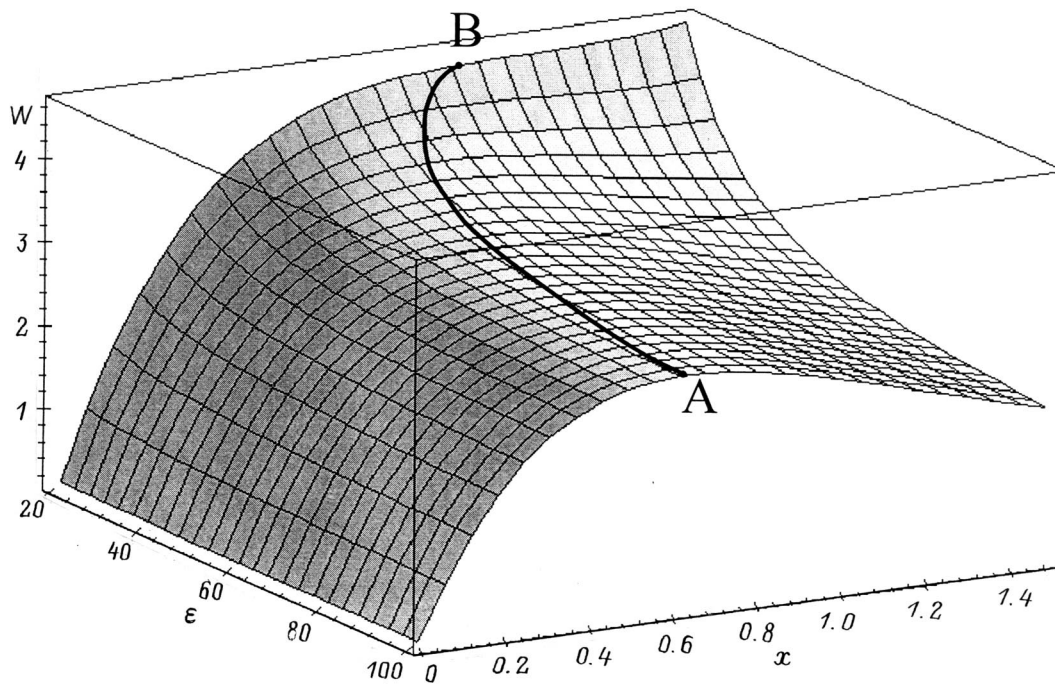


Рис. 6. Взаимосвязь между параметром Тейлора, диэлектрической проницаемостью вещества капли и параметром деформации.

новесное состояние капли в форме вытянутого сфероида (кривые 1, 2 на рис. 4). При  $\varepsilon > 20.8$  равновесные состояния сфероидальных капель наблюдаются до некоторого критического значения параметра Тейлора  $W = W_*$  (обозначенного на рис. 4 точками  $B3-B9$ ), зависящего от диэлектрической проницаемости вещества капли, что согласуется с данными [7]. С увеличением диэлектрической проницаемости критическое значение  $W_*$  уменьшается и при  $\varepsilon \rightarrow \infty$  достигает минимального значения  $W_{*0} = 2.57$ , что хорошо согласуется с результатами исследований границ устойчивости проводящих капель в электростатическом поле [6]. Участки  $A-Bn$  на рис. 4 соответствуют равновесным сфероидальным формам капель. Участки  $Bn-Cn$  кривых 3–9 соответствуют локальным максимумам зависимости  $U(x)$  при  $W = \text{const}$  и  $\varepsilon = \text{const}$ . Значение параметра Тейлора  $W$ , соответствующее точкам  $C3-C9$ , определяет возникновение второго минимума на зависимости  $U = U(x)$ .

При значениях параметра Тейлора, меньших критического  $W_*$ , для перевода капли в область неустойчивости необходимо сообщить ей энергию для преодоления потенциального барьера, величина которого в зависимости от параметра Тейлора для различных значений диэлектрической проницаемости  $\varepsilon$  приведена на рис. 5 (кривые  $Bn-Cn$ ). Участки  $A-Bn$  кривых на рис. 5 соответствуют равновесным состояниям сфероидальной капли, точки  $Bn$  — состояниям неустойчивого равновесия капли при критическом значении параметра Тейлора  $W$ .

Трехмерная поверхность, приведенная на рис. 6, определяется полученным из решения уравнения (8) соотношением между диэлектрической проницаемостью вещества капли  $\varepsilon$ , параметром Тейлора  $W$  и параметром  $x$ . Кривая  $AB$ , так же как точки  $Bn$  на рис. 4 и 5, соответствуют состояниям неустойчивого равновесия капли при критических значениях параметра Тейлора  $W$  и разделяет устойчивые сфероидальные формы капли (левее  $AB$ ) от неустойчивых состояний (правее  $AB$ ).

## Заключение

В проведенном исследовании найдено, что качественный вид зависимости потенциальной энергии изолированной капли с диэлектрической проницаемостью  $\varepsilon$  в однородном электростатическом поле напряженностью  $E$  от величины сфероидальной деформации  $U = U(x)$  зависит как от  $\varepsilon$ , так и от  $E$  или параметра Тейлора  $W \sim E^2$ , характеризующего устойчивость поверхности капли по отношению к индуцированному на ней заряду. Зависимость  $U = U(x)$  при различных значениях  $\varepsilon$  и  $E$  (или  $\varepsilon$  и  $W$ ) может иметь либо один минимум, либо два, разделенных локальным максимумом. Анализ зависимости  $U = U(x, \varepsilon, W)$  позволил выделить области значений  $x, \varepsilon$  и  $W$ , соответствующие равновесным сфероидальным формам капель, и критические условия потери устойчивости.

## Список литературы

- [1] *Коженков В.И., Фукс Н.А.* // Успехи химии. 1976. Т. 45. № 12. С. 2274–2284.
- [2] *Григорьев А.И., Ширяева С.О.* // Изв. РАН. МЖГ. 1994. № 3. С. 3–22.
- [3] *O'Konski C.T., Thacher H.C.* // J. Phys. Chem. 1953. Vol. 57. P. 955–958.
- [4] *Ландау Л.Д., Лифшиц Е.М.* Гидродинамика. М.: Наука, 1988. 733 с.
- [5] *Ландау Л.Д., Лифшиц Е.М.* Электродинамика сплошных сред. М.: Наука, 1982. 620 с.
- [6] *Taylor G.* // Proc. Roy. Soc. A. 1964. Vol. 280. P. 383–397.
- [7] *Sherwood J.D.* // J. Fluid Mech. 1988. Vol. 188. P. 133–146.